

浸透層上の流れにおける物質輸送(その2)

京都大学工学部 正員 岩佐 義朗
日本道路公団 正員 中井 俊雄

京都大学工学部 正員 綾 史郎
京都大学大学院 学生員〇西内 美宣

1. はじめに; 本研究は、浸透性路床上の流れにおける主流と浸透流間に生じる物質交換機構について実験的に研究したものである。具体的には、まず水深方向の物質輸送について室内水路において基礎的な水理実験を行い、観察された浸透層内の概観、測定された交換層厚さ、減衰時間定数とともに、物質輸送の形態および交換の特性について調べた。ついで、物質輸送に関するいくつかの特性パラメータ(交換速度、乱流拡散係数、減衰時間定数)と水理量、浸透層構成材料との関係について考察を行った。

2. 実験方法と実験結果; 実験は、(1)染料を用いた可視化による浸透層内の流れの観察と交換層厚さの測定、(2)主流に塩水をトレーサーとして瞬間的に投入し、主流、浸透層における塩水濃度の時間的変化の測定による移流速度の測定、(3)主流に定常的にトレーサーを投入し、浸透層内を一様濃度とした後、浸透層内の濃度の時間的変化を測定することにより減衰時間定数の測定からなっていった。浸透層構成材料としては、ガラスビーズ； $d_{50} = 1.25 \text{ cm}$ (A), 1号ケイ砂； $d_{50} = 0.354 \text{ cm}$ (B), 2号ケイ砂； $d_{50} = 0.1218 \text{ cm}$ (C), 3号ケイ砂； $d_{50} = 0.113 \text{ cm}$ (D)の4種を用い、層厚10cm前後として、流量、路床勾配を変化させた20通りの実験を行った。実験の詳細及び実験諸量については、紙面の都合上省略する。

実験(1)の結果を示せば図-1のようであり、浸透層は流れの形態、現象の時間スケールにより3層に大別されることがわかる。この内、物質交換に關係するは主として浸透層A, Bであり、特に浸透層A(以後、交換層と呼ぶ。)は最も主流との交換が盛んな領域である。図-2は浸透層内の流れの形態を例示した。

実験(3)によって得られた交換層内の濃度の時間的变化は、図-3に示すとおりであり、濃度はおおむね指數低減している。ここで C_B/C_{B0} は濃度 C_B を初期濃度 C_{B0} で正規化したものである。ここで濃度が $\frac{1}{e}$ に減衰する時間を求め、減衰時間定数 T_{10} とすると、 T_{10} は $10 \sim 100 \text{ (sec)}$ 程度の値であろうが、水理量、浸透層構成材料に依存するようである。

3. 物質交換機構に関する考察; <交換層に関する考察>まず、交換層厚さについて検討を行う。交換層厚さ a_{li} を図-4に示すように

$a_{li} = \frac{1}{2} a_i / \frac{1}{2} l_i$ で定義すると、 a_i は浸透層構成材料の代表粒径 d_m が大きくなれば大きくな

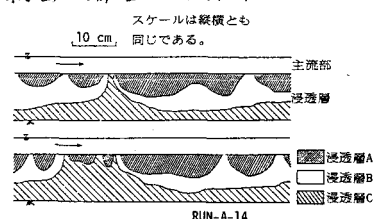


図-1 染料可視化実験結果

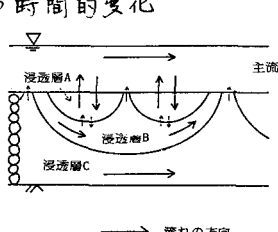


図-2 流れの形態

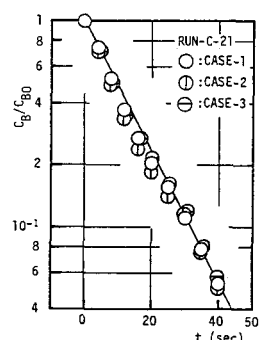


図-3 濃度の時間的变化

るようであり、図-5からは

$$y_b = 2.35 \text{ dm} + 0.53 \quad (\text{単位: cm}) \quad (1)$$

の関係となる。次に交換層の形状について検討を行う。

図-4において交換層の個数を知れば、平均的な形状比 η は $\eta = y_b / (L/dm)$ で与えられる。また、測定区間において交換層セルの左端部比 χ は、 $\chi = L/dm$ で与えられる。図-6、図-7は全実験ケースについて、 y_b を横軸にとって、 η 、 χ をプロットしたものであるが、ともに構成材料や水理量による依存性は見られず、

$$\eta \approx 0.25 \quad (2)$$

$$\chi \approx 0.825 \quad (3)$$

程度になるようである。また、個々の交換層の長さ l_i/dm について見ると、どの実験ケースにおいてもかなりばらつきがあるが、必ずしも均等ではなく数個の l_i/dm に集中する傾向をもつといふ。

〈交換機構に関する考察〉 $R = y_b/T_{10}$ で定義される交換速度を、前出の y_b と実験(3)で求めた T_{10} により求めると、

$$R = (1.0 \sim 20.0) \times 10^{-2} \text{ (cm/sec)} \quad (4)$$

程度になつた。この値は、前報で移流分散係数を測定することによって求めた R と比較すると 5 倍程度系統的に大きくなつてゐる。次に、 $D_g = 4 \ln 10 \cdot g h^2 / \pi^2 T_{10}$ によつて求められた拡散係数はつづく(見ると)。

$$D = (0.2 \sim 8.0) \times 10^{-2} \text{ (cm}^2/\text{sec}) \quad (5)$$

$$D/h u_* = (0.6 \sim 16) \times 10^{-2} \quad (6)$$

程度である。ここに h : 水深、 u_* : 摩擦速度、 u_B : 浸透層内流速である。ここで(7)式を浸透層内の横分散係数と定めていふ $D/(h u_B) = 0.04^{33}$ と比較すると、(7)式の方がはるかに大きくなつてあり、主流が浸透流に及ぼす効果がでていふものと考えられる。最後に、減衰時間定数 T_{10} について dm 、 U_A を基本量として次元解析を行ふと、その結果は図-8 に示すようである。

$$\frac{dm}{T_{10} U_A} = C \left(\frac{K}{U_A} \right) \left(\frac{h}{dm} \right)^{3/5} Fr^{2/5} \quad (8)$$

の関係式が得られる。(8)式は、減衰時間定数 T_{10} は主流、浸透流の特性、水理量が相互に作用していふことを示していふが、

(8)式の持つ物理的意味については、明らかでなく、理論的、実験的検討を行ふ必要がある。《参考文献》 1) 中井復雄; 京都大学修士論文, 1986

2) 三石真也; 昭和60年度関西支部年次学術講演会講演概要 II-42, 3) 玉井信行; 密度流の水理, 新体系工学22, 1980, 改版

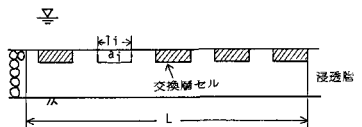


図-4 交換層の形態

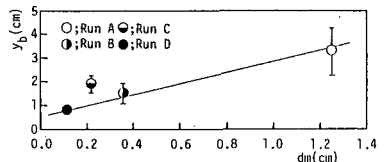


図-5 $y_b \sim dm$

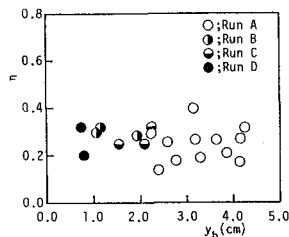


図-6 $\eta \sim y_b$

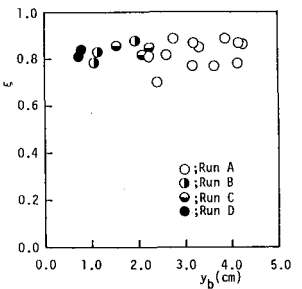


図-7 $\chi \sim y_b$

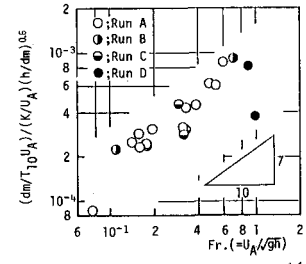


図-8 $(dm / T_{10} U_A) / (K / U_A)^(1/5) \sim Fr.$